

مطالعه پتروفابریک و میکروتکنونیک سنگ‌های دگرگونی جنوب‌شرق

فریمان به منظور بازسازی تحولات دگرگونی منطقه

فرشته رنجبر^{*}، فریبرز مسعودی^۱، مسعود همام^۲، محمد محجّل^۳

۱- گروه زمین‌شناسی، دانشکده علوم زمین، دانشگاه شهید بهشتی، تهران، ایران

۲- گروه زمین‌شناسی، دانشکده علوم، دانشگاه فردوسی، مشهد، ایران

۳- گروه زمین‌شناسی، دانشکده علوم، دانشگاه تربیت مدرس، تهران، ایران

پذیرش مقاله: ۱۳۹۷/۵/۱۱

تأیید نهایی مقاله: ۱۳۹۸/۲/۱۹

چکیده

گستره دگرگونی فریمان در جنوب شرق مشهد واقع شده است و شامل شیسته‌های آندالوزیت‌دار با میان لایه‌هایی از آهک‌های تبلور مجدد بافتne و کوارتزیت می‌باشد. واحدهای لیتولوژیکی مجاور این دگرگونی‌ها شامل مجموعه دگرگون شده کمپلکس سیبک می‌باشد. هدف از این مطالعه درک فرایندهای دگرگونی و سرگذشت و تحولات دگرگونی در منطقه می‌باشد زیرا این منطقه یکی از شاخص‌ترین دگرگونی‌های نوع فشار پایین-حرارت بالا در ایران قلمداد می‌شود. با توجه به شواهد صحرایی و میکروسکوپی نظیر شیستوزیته و خطواره‌ها و ریزاساختارهای موجود، دو مرحله دگرشکلی D1 و D2 طی رویدادهای دگرگونی اتفاق افتاده است. این شیسته‌ها متحمل یک مرحله دگرگونی ناحیه‌ای دما بالا-فسار پایین در حد رخساره آمفیبولييت بالایی شده‌اند و سپس یک مرحله دگرگونی دما پایین دیناموترمال همراه با دگرشکلی در اثر جایگیری و بالا آمدن پوسته پایینی در شیسته‌ها و کمپلکس مجاور آنها اتفاق افتاده است. به علاوه از شواهد چنین برمی‌آید که بعد از وقوع این رخداد شرایط تکتونیکی بسیار فعالی (نظیر زون‌های برشی) در منطقه حاکم شده و باعث دگرشکلی در این شیسته‌ها و مجموعه سنگ‌های آذرین مجاور آن‌ها شده است. زمان بالا آمدگی و جایگیری نپ احتمالاً بعد از کرتاسه بوده است. حرکات تکنونیکی گفته شده احتمالاً با زمین درز سبزوار در ارتباط می‌باشد.

واژه‌های کلیدی: فریمان، جنوب‌شرق مشهد، شیسته‌های آندالوزیت‌دار، دگرگونی ناحیه‌ای، دگرگونی دیناموترمال.

حرارت و در نتیجه تحولات و تاریخچه دگرگونی منطقه فریمان مشخص شود.

منطقه مورد مطالعه

زمین‌شناسی منطقه مورد مطالعه

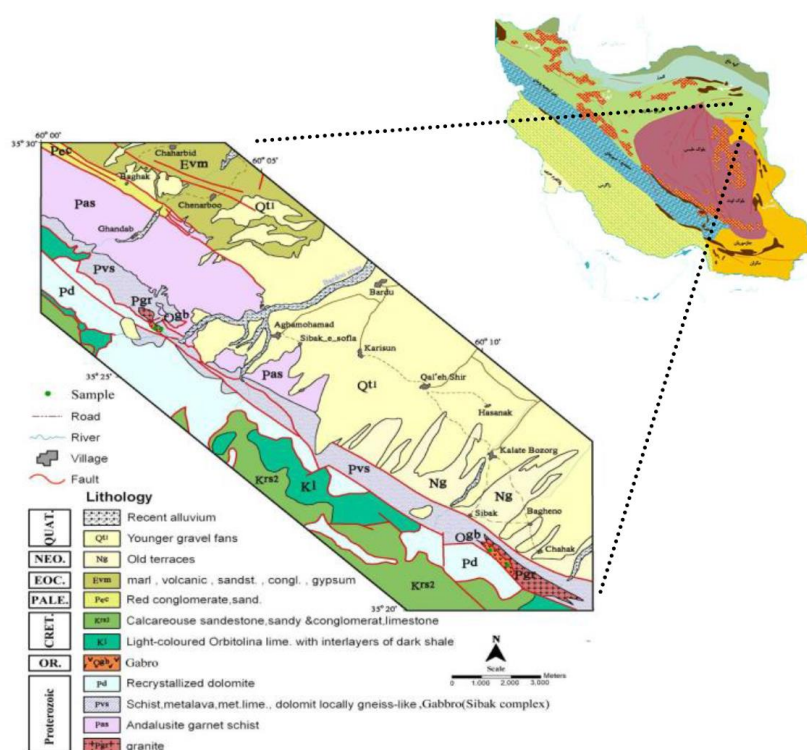
کمپلکس دگرگونی فریمان در ۱۱۰ کیلومتری جنوب شرق مشهد و ۴۰ کیلومتری جنوب شرق شهر فریمان بخشی از رشته ارتفاعاتی است که در راستای NW-SE کشیده شده‌اند (شکل ۱) و شامل نوار طویلی از سنگ‌های دگرگونی به پهنه‌ی ۴ کیلومتر است که پهنه‌ی آن طی پیمایش در جهت شمال‌غرب-جنوب‌شرق افزایش می‌یابد و با رسیدن به گسل کاریزوم این نوار ناپدید Stocklin (۱۹۷۴)، ناحیه فریمان طبق نظر تقسیم‌بندی زیر پهنه‌ها توسط Alavi (۱۹۹۱) بخشی از بلوك مرکزی ایران می‌باشد و طبق تقسیم‌بندی زیر پهنه‌ها توسط Alavi (۱۹۹۱) مشاهده هستند. ۱) سنگ‌های ولکانیکی ائوسن همراه با مارن، ماسه‌سنگ، ژیپس و کنگلومرا، ۲) واحدهای دگرگونی پروتزوژوئیک که شامل طیف ترکیبی متنوعی از ماسه‌سنگ‌های دگرگون شده شامل متاپسامیت و متاگریوکها، متاپلیت‌های فیلیت و میکاشیست و متاکربنات‌ها شامل مرمرآهکی و مرمردولومیتی می‌باشد که بخش عمده‌ی این دگرگونی‌ها طبقات ضخیم میکاشیست‌ها می‌باشند که با حضور بلورهای درشت آندالوزیت و گارنت مشخص می‌شوند و متاپسامیت‌ها و متاکربنات‌ها به صورت میان‌لایه با آن‌ها قرار گرفته‌اند. لوکوگرانیت‌های آناتکسی به صورت رگه‌ها و لنزهای پگماتیتی در میان

مقدمه

سرزمین ایران همانند سرزمین‌های همسایه‌اش در طی پرکامبرین و پالئوزوئیک به ابرقاره گندوانا Stocklin, 1968; Berberian, 1981). مجموعه دگرگونی فریمان نیز به عنوان بخشی از شمال‌شرق ایران مرکزی در این زمان در حاشیه شمالی گندوانا قرار داشته و تحت تاثیر عملکرد فاز کوه‌زایی پرکامبرین (فاز کاتانگایی) بوده است. درواقع بخش بزرگی از دگرگونی‌های ایران مرکزی پوسته قاره‌ای پرکامبرین هستند که هم در زمان پیش از پرکامبرین پسین و هم در زمان‌های بعد دگرگون شده‌اند. اکثر این دگرگونی‌ها در حد رخساره آمفیبولیت میانی-فوقانی و در زون سیلیمانیت فوقانی می‌باشد (آقاباتی، ۱۳۸۵). به دلیل پیچیدگی‌های زمین-شناختی، رویدادهای زمین‌شناسی شمال‌شرق ایران تاکنون به‌طور کامل مشخص نشده است. کمپلکس دگرگونی فریمان یکی از شاخص‌ترین دگرگونی‌های نوع فشار پایین-حرارت بالا در این ناحیه از ایران قلمداد می‌شود و به نظر می‌رسد با توجه به موقعیت سنی و زمین‌ساختی خاص این منطقه در گستره زمین‌شناسی شرق ایران، مطالعه آن می‌تواند به عنوان کلیدی برای روشن شدن تاریخچه زمین‌ساختی شمال‌شرق ایران استفاده شود. از آنجا که یک مسیر فشار- دما همراه با اطلاعات ریزساختاری و توالی رشد کانی‌ها، می‌تواند تغییرات سنگ را با زمان توضیح دهد (Vernon, 1982; Schulz, 1990) از این رو در این مقاله سعی شده است تا با بررسی روابط بافتی و ریزساختاری، توالی و قایع سنگ‌های دگرگونی منطقه بررسی و با استفاده از نتایج تجزیه‌های شیمیایی کانی‌ها و ترمومبارومتری، مسیر فشار-

سیبک و سنگ‌های رسوبی غیر دگرگونی قرار گرفته است. واحدهای کرتاسه شامل ماسه‌سنگ، کنگلومرا و آهک متعلق به کرتاسه بالایی و آهک‌های اربیتولین‌دار با میان لایه‌هایی از شیل‌های تیره متعلق به کرتاسه پایینی بر روی این دولومیت‌ها قرار گرفته و این مجموعه خود توسط رسوبات پلیو-پلیئستوسن و در نهایت آبرفت‌های کواترنر پوشیده شده است. مطالعات سنگ‌شناسی و پترولوزیکی صورت گرفته بر روی سنگ‌های دگرگونی در منطقه توسط افتخارنژاد و همکاران، تحت پوشش تهیه نقشه زمین‌شناسی کاریزنو (۱۹۷۹)، واعظی پور و همکاران (۱۳۶۲)، شیرزاده (۱۳۸۱)، صفرایی (۱۳۸۶) و رنجبر (۱۳۸۹) انجام شده است.

شیسته‌های آندالوزیت‌دار نفوذ کرده‌اند. دایک‌ها یا لنزهای پگماتیتی حاوی بلورهای درشت کوارتز، تورمالین، مسکویت و فلدسپات می‌باشند، این دایک‌ها گاهی به صورت آپلیت نیز مشاهده می‌شوند،^(۳) کمپلکس پروتروزوئیک سیبک شامل سنگ‌های آتشفسانی دگرگون شده، شیسته‌ها، سنگ‌آهک‌های دگرگون شده که سنگ‌های گرانیتی و گابرویی در تماس با آن‌ها مشاهده می‌شوند (کمپلکس سیبک، چهارگوشه کاریزنو، ۱/۱۰۰۰۰). بیرون‌زدگی سنگ‌های گرانیتی به صورت توده‌های نامنظم و طویل در نواری از روستای قنداب شروع شده و در جهت شمال‌غرب به جنوب‌شرق در مسیر جاده فریمان-تربت‌جام گسترش می‌یابد.^(۴) دولومیت‌های تبلور مجدد یافته پروتروزوئیک که در کنタکت با کمپلکس



شکل ۱: نقشه زمین‌شناسی منطقه، برگرفته از نقشه با مقیاس ۱/۱۰۰۰۰ کاریزنو (۱۹۷۹).

در مجاورت سنگ‌های گابرویی و گرانیتی قرارگرفته‌اند.^{۴)} سنگ‌های حاصل از دگرگونی پلیت‌ها: متاپلیت‌های جنوب‌شرق فریمان میکاشیست‌های حاوی پورفیروبلاست‌های آندالوزیت هستند. اندازه پورفیروبلاست‌های آندالوزیت‌ها در بعضی قسمت‌ها به بیش از ۱۰ سانتی‌متر طول و عرض آن‌ها به ۴ تا ۵ سانتی‌متر می‌رسد. طی بررسی‌های پتروگرافی به عمل آمده بر روی آندالوزیت میکاشیست‌های مورد مطالعه سه مجموعه کانیایی مشخص شدند که از شمال‌غرب به جنوب‌شرق درجه دگرگونی آن‌ها افزایش می‌یابد و در نتیجه سه زون آندالوزیت-کوردیریت، آندالوزیت-سیلیمانیت و سیلیمانیت فوقانی از شمال‌غرب به جنوب‌شرق در این شیست‌ها قابل تفکیک است (رنجر، ۱۳۸۹). در زون آندالوزیت، کوردیریت به حالت ناپایدار و اغلب احاطه شده توسط تجمعات میکایی مشاهده می‌شود. در زون سیلیمانیت فوقانی نیز اغلب پورفیروبلاست‌های آندالوزیت در شرایط نیمه‌پایدار حضور دارند و توسط بلورهای سیلیمانیت جایگزین شده‌اند.

(۱) کوردیریت-آندالوزیت شیست در مجموعه کانیایی اول در زون آندالوزیت-کوردیریت بلورهای کوردیریت به صورت پورفیروبلاست‌های بیضوی و اکثراً دارای ماکل شعاعی مشاهده می‌شوند (شکل ۲ ب). بسیاری از نمونه‌ها اثرات تغییرشکل و دگرگونی ممتد بر پورفیروبلاست‌های کوردیریت را نشان می‌دهند. اغلب کوردیریت‌ها تشکیل سیمپلکتیت‌ها به صورت تجمعات میکایی با یا بدون کلریت را نشان می‌دهند (شکل ۲ الف). وجود این تجمعات که در آن‌ها کوارتز نیز مشاهده می‌شود ساخت چشم پرندگان را در زمینه این سنگ‌ها ایجاد کرده است

مواد و روش‌ها

پتروگرافی و پتروفابریک

جهت انجام مطالعات ریزاساختاری و پتروگرافی تعداد ۸۰ مقطع نازک به صورت جهت‌دار از آندالوزیت شیست‌ها و سنگ‌های آذرین کمپلکس سیبک تهیه و مورد بررسی قرار گرفتند. با توجه به نوع پروتولیت تقسیم‌بندی زیر را برای دگرگونی‌های جنوب‌شرق فریمان می‌توان در نظر گرفت.

(۱) سنگ‌آهک‌های دگرگون شده با ترکیب نسبتاً خالص در منطقه منجر به تبلور مجدد کلسیت و تشکیل مرمر کلسیتی شده است. کانی‌های شاخص دگرگونی در این سنگ‌ها مشاهده نمی‌شوند. در بخش‌هایی این آهک‌ها به صورت نواربندی شده دیده می‌شوند. (۲) سنگ‌های کوارتز-فلدسباتی دگرگون شده: در فرایند دگرگونی ماسه‌سنگ‌ها و آرکوز، کوارتزیت‌های خالص و شیست‌های کوارتز-فلدسباتی ایجاد شده‌اند. به طور کلی این سنگ‌ها نسبت به شیست‌های پلیتی از نظر رنگ روشن‌تر بوده (خاکستری روشن) و با پراکندگی نامنظم به صورت بین لایه‌ای با متاپلیت‌ها قرار گرفته‌اند. (۳) سنگ‌های آذرین دگرگون شده: در جنوب منطقه مورد مطالعه مجموعه‌ای از سنگ‌های آذرین بیرونی و نیمه عمیق و همچنین سنگ‌های پیروکلاستیکی شامل توف‌های کریستالین با ترکیب حدواتسط و مافیک مخلوط با سنگ‌های رسوبی آهکی و ماسه‌سنگی (تحت عنوان کمپلکس سیبک در چهارگوشه ۱/۱۰۰۰۰ کاریزنو) قرار گرفته است. تماس این کمپلکس با شیست‌ها در بخش‌هایی از منطقه گسله می‌باشد. سنگ‌های این مجموعه شامل ریولیت، دیاباز، کوارتز‌مونزونیت، آپلیت و توف می‌باشد که با گسل

مشخص و خطی و رشد یافته بر روی برگوارگی مشاهده می‌شوند. فیبرولیت‌ها در بعضی موارد به صورت اتفاقی جهتیابی شده‌اند. انحلال آندالوزیت احتمالاً در طول صفحات کلیواژ باعث تهنشست فیبرولیت در فضای به وجود آمده شده است. فیبرولیت‌ها هم به صورت تجمعات امتداد مرزهای دانه‌ای و هم به صورت تجمعات شعاعی پراکنده مشاهده می‌شوند. بهم‌آمیختگی بلورهای فیبرولیت یا ضخیم‌شدن آن‌ها باعث شکل‌گیری بلورهای سیلیمانیت در بعضی قسمت‌ها شده است (شکل ۲ د).

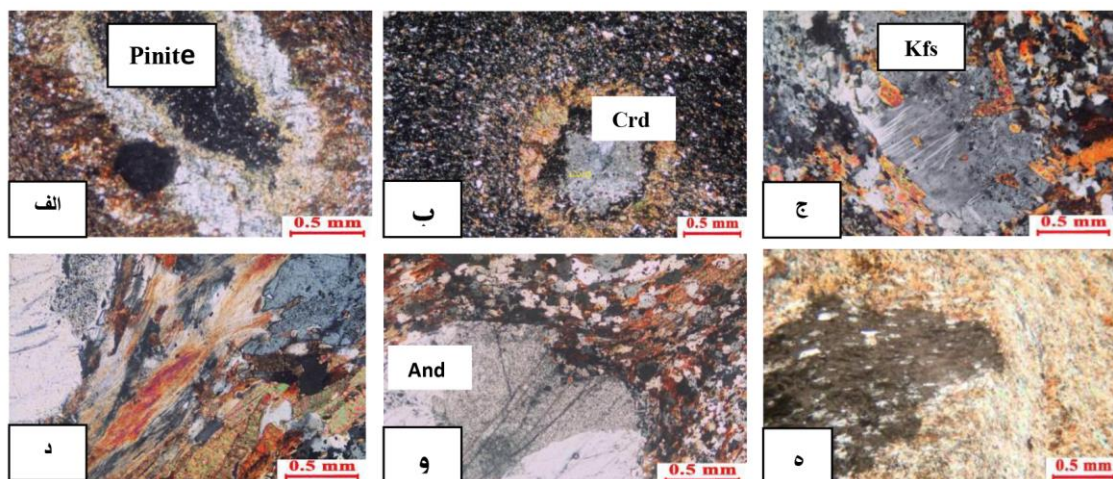
۳) آلکالی فلدسپار-سیلیمانیت-آنالوزیت شیست در مجموعه کانیابی درجه حرارت بالا در زون سیلیمانیت-پتاسیم فلدسپار کانی‌های کوارتز، پلازیوکلاز، بیوتیت، آلکالی فلدسپار، آندالوزیت، فیبرولیت، سیلیمانیت گاهی همراه با گارنت و کوردیریت مشاهده می‌شوند. پرفیروblast‌های گارنت در این شیست‌ها شکل‌دار و فاقد ادخال است و از نظر اندازه به طور متوسط درشت‌تر هستند. سیلیمانیت در این نمونه‌ها در دو موقعیت، به صورت سیلیمانیت‌های منشوری در زمینه و یا سلیمانیت‌های جانشین شده در بلورهای آندالوزیت مشاهده می‌شود. دگرشکلی می‌تواند سایت‌های مناسب برای هسته‌بندی سیلیمانیت در آندالوزیت فراهم کند (Vernon, 1987). طبق نظریه ورنون افزایش درجه شکستگی‌ها در آندالوزیت همراه با افزایش درجه دگرشکلی موجب افزایش در پیشرفت واکنش تبدیل آندالوزیت به سلیمانیت می‌شود (رنجر، ۱۳۸۹). برخی از بلورهای سیلیمانیت به شکل بلورهای ماهی‌گون غیر معمول نوع ۲ (Mancktelow et al, 2002) دیده می‌شوند. به نظر می‌رسد فابریک فلیس ماهی از طریق خرد

(شکل ۲ ب). در هسته بعضی از این سیمپلکتیت‌ها در مواردی که کوردیریت‌ها کاملاً تجزیه شده‌اند بخش‌های همگنی از مواد پنیتی بسیار ریز (کلریت ریزدانه) مشاهده می‌شود (شکل ۲ الف). این مجموعه غنی از میکای سفید و حاوی کلریت جانشین کوردیریت، منشاً دگرشکلی برگشتی دارد. آندالوزیت در این شیست‌ها با بی‌رفرنژانس ضعیف و رنگ تداخلی آبی مایل به خاکستری تا زرد مشاهده می‌شود. تجمعات غنی از میکای سفید دانه ریز که منشاً پسرورونده دارد در برخی نمونه‌ها در اطراف بلورهای آندالوزیت دیده می‌شود. گارنت‌های زمینه اغلب بی‌شکل هستند در حالی که گارنت‌های موجود در تجمعات میکایی اکثراً شکل‌دار و با بافت اسفنجی مشاهده می‌شود (شکل ۲ الف).

۴) کوردیریت-فیبرولیت-آنالوزیت شیست در حرکت به سمت جنوب شرق در مجموعه کانیابی دگرشکلی شده در حرارت بالاتر، بلورهای بیوتیت و مسکویت در باندهای با Al بیشتر تشکیل شده و میزان جهت‌یابی آن‌ها نسبت به مجموعه مینرالی اول افزایش یافته است. گاهی هم‌رشدی از مسکویت‌های ثانویه با فیبرولیت‌ها دیده می‌شود. کوردیریت‌هایی در برخی مقاطع مشاهده می‌شوند که با قیماندهایی از کوردیریت‌های دما بالای با ماکل چرخشی مجموعه مینرالی اول هستند. در این مجموعه مینرالی تجمعات میکایی در بسیاری از نمونه‌ها دگرشکل و خمیده شده‌اند (۳ ب). بعضی پرفیروblast‌های آندالوزیت در لایه‌ای غنی از میکا و کوارتز رشد کرده‌اند که منجر به تجمعاتی از این مینرال‌ها در سطح خارجی بلور می‌شود (شکل ۲ و). بلورهای گارنت گاهی به صورت شکسته شده و در برخی نمونه‌ها با مرزهای

(دگرگونی برگشتی در خلال بالازدگی) (Passchier and Throw, 2005). این پرتیت‌ها شکل شعله‌ای داشته و به پرتیت‌های شعله شمعی موسوم می‌باشند (شکل ۲ ج).

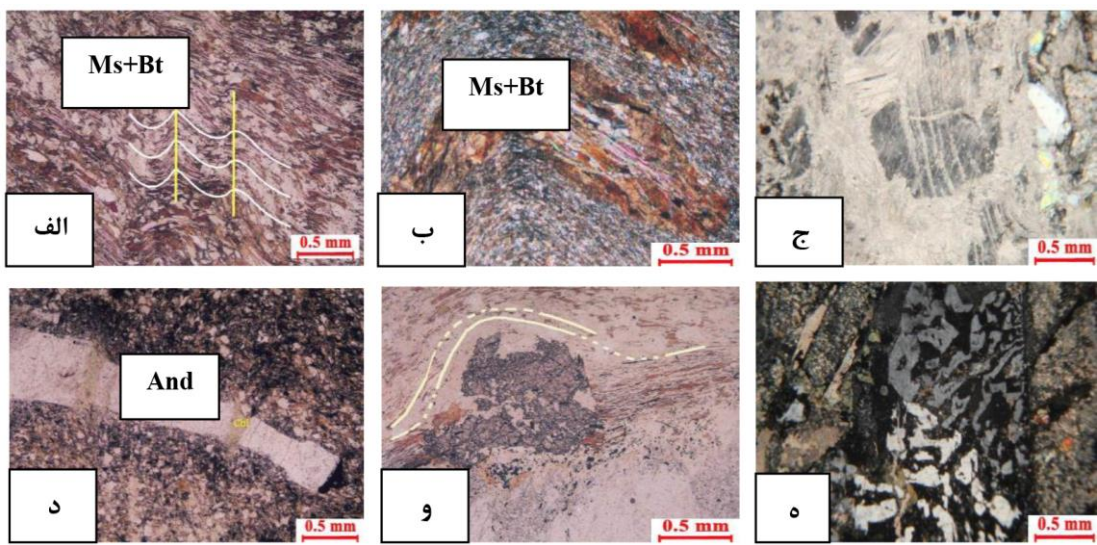
شدن میکاها یا سیلیمانیت‌های بزرگ اولیه تشکیل و گسترش یافته است. در این شیسته‌ها بافت پرتیتی به فراوانی در نمونه‌ها مشاهده می‌شود که مبین کاهش دما حین دگرگونی است.



شکل ۲: (الف) تجمعات سیمپلکتیک بیوتیت، کوارتز، مسکویت جایگزین شده در کوردیریت و هسته پینیتی. (ب) بلور کوردیریت با ماکل شعاعی یا دو قلو، این ماکل نشان‌دهنده تبدیل کوردیریت دما بالا به کوردیریت دما پایین می‌باشد. (ج) پرتیت شعله شمعی در آندالوزیت شیسته‌ها. (د) بهم پیوستگی فیبرولیت و تشکیل سیلیمانیت در آندالوزیت. (و) رشد آندالوزیت در زمینه‌ای غنی از میکا و کوارتز و تشکیل آرک‌ها در سطح خارجی بلور. (ه) وجود ادخال‌های خلاف جهت برگوارگی زمینه در پرفیروblast.

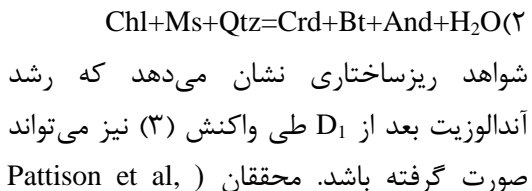
که توسعه شعله‌ها را در دانه‌های پتابسیم فلدسپار به دنبال دارد (رنجر، ۱۳۸۹). بافت میرمیکیتی نیز در برخی نمونه‌ها قابل مشاهده است. برخی محققین (Simpson and Wintsch, 1989) بیان داشته‌اند که میرمیکیت‌ها ممکن است در جریان دگرگونی پیشرونده در محلهای تجمع تنش بالا در بلور ساخته شوند (شکل ۳).

پرتیت شعله‌ای در نمونه‌هایی که کوردیریت به طور وسیعی به وسیله تجمعات سیمپلکتیت بیوتیت، کوارتز و مسکویت جایگزین شده است کمتر مشاهده می‌شود. در نتیجه استرس وارد شده تجمعات همرشدی (سیمپلکتیت) دگر شکل شده شکل گرفته است اما در سنگ‌های با کوردیریت درشت دانه که سیمپلکتیت‌ها به طور وسیعی دیده نمی‌شوند پتابسیم فلدسپار بیشتر دگرشکل شده



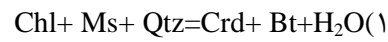
شکل ۳: (الف) ایجاد شیستوزیتی S_2 عمود بر شیستوزیتی S_1 . (ب) چین خوردگی در تجمعات میکائی. (ج) ماکلهای دگریخت شده در پلازیوکلاز. (د) پرفیروبلاست آندالولوزیت در اثر دگرگشکلی شکننده دچار شکستگی شده و محل شکستگی سپس با کلریت پر شده است. (و) خمیدگی زمینه در اطراف بلور گارنت. (ه) میرمیکیت‌ها به عنوان رشد در هم همزمان.

کوردیریت که این نوع جایگزینی را ندارند به وسیله مواد فوق العاده دانه ریز غنی از کلریت (پنیت) جایگزین شده‌اند و بافت ساعت شنی شاخص کوردیریت را نشان می‌دهند. پرفیروبلاست‌های آندالولوزیت در این شیست‌ها غالباً کمتر آلتره هستند و ادخال‌های موجود در آن‌ها به طور مشخص بزرگ‌تر از ادخال‌ها در هسته کوردیریت است که نشان می‌دهد آندالولوزیت زمانی که اندازه دانه‌های ماتریکس به طور قابل ملاحظه‌ای بزرگ‌تر از اندازه‌ی آن‌ها در زمان رشد کوردیریت بوده رشد کرده است (Vernon, 1978). شواهدی برای رشد همزمان کوردیریت و آندالولوزیت مشاهده نمی‌شود و بنابراین انجام واکنش (۲) تایید نمی‌شود.



بحث و نتایج واکنش‌های شکل دهنده و زمان نسبی رشد متوالی پرفیروبلاست‌ها

رشد متوالی پرفیروبلاست‌ها را در شیست‌های منطقه فریمان می‌توان مشاهده کرد. مدل سیستم Ksp-Als-Crd-Bt- KFMASH که کانی‌های Ms- Chl- QTz- H_2O واکنش‌های صورت گرفته در سنگ‌های فریمان را توضیح دهد. زمان‌گیری ریزساختاری پرفیروبلاست‌ها مشخص می‌کند که در ابتدا پرفیروبلاست‌های کوردیریت قبل از D_1 شکل می‌گیرند.



پرفیروبلاست‌های کوردیریت در شیست‌های منطقه فریمان با آگرگات‌های غنی از میکائی‌سفید، بیوتیت و کلریت جایگزین شده‌اند. پرفیروبلاست‌های آندالولوزیت به میزان کمتر با کوارتز و بیوتیت جایگزین شده‌اند. لکه‌های

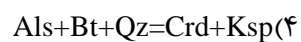
باشند این فیبرولیت‌ها نیز بعد از دگرشکلی تفسیر می‌شوند. در دگرگونی درجه بالا واکنش‌های بسیاری برای شکستن مسکویت در حضور کوارتز در نظر گرفته شده‌اند. این واکنش‌ها تابع فشار می‌باشند. البته اگر پلازیوکلاز حضور نداشته باشد مسکویت و کوارتز تا دماهای بسیار بالا پایدار می‌مانند (Winkler, 1976)، که این شرط در منطقه مورد مطالعه صادق نبوده و پلازیوکلاز در نمونه‌های با درجه بالای دگرگونی نیز حضور دارد. واکنش‌های (6) $\text{Ms} + \text{Qtz} = \text{Ksp} + \text{Al}_2\text{Si}_5\text{O}_{10} + \text{H}_2\text{O}$ و واکنش‌های $(6')$ $\text{H}_2\text{O} + \text{MS} + \text{Qtz} = \text{Sill}$ محدود کننده پایداری مسکویت هستند. جانشینی هم‌محور آندالوزیت به وسیله سیلیمانیت پریسماتیک به واکنش (7) $\text{And} = \text{Sill}$ نسبت داده می‌شود. از شواهد دگرگونی برگشتی، تبدیل آندالوزیت به سریسیت و مسکویت یا کلریت و مسکویت، رشد کلریت و تالک در مجاورت یا روی کانی‌هایی دیگر، قرارگیری تورمالین در رگه‌های موجود در سنگ و در حاشیه آندالوزیت‌ها است که این رویداد به ساخت تکتونیکی منطقه، ویژگی‌های فیزیکی سنگ‌های دگرگونی، انتشار و نشت حجم عظیمی از سیالات غنی از بر و پتانسیم حاصل از انجام توده در حین سرد شدن وابسته می‌باشد.

رویدادهای دگرشکلی در منطقه
اولین رویداد دگرشکلی (D_1): روند عمومی شیستوزیته موجود در منطقه تقریباً شمال‌غرب-جنوب‌شرق می‌باشد ولی شبیه از قسمتی به قسمت دیگر متفاوت بوده و بعضاً در دو جهت به سمت شمال‌شرق و جنوب‌غرب مشاهده می‌شود (رنجر، ۱۳۸۹). این دگرشکلی همزمان با رویداد M_1 بوده است. اولین ریزساختار تکتونیکی قابل تشخیص (S_1) که در اثر دگرشکلی D_1 به وجود آمده است به وسیله شیستوزیته داخلی

۲۰۰۲) نشان دادند که این واکنش شبیه منفی ضعیفی در فضای نمودار P-T دارد و به شدت به نسبت $\text{Mg}/(\text{Mg}+\text{Fe})$ بستگی دارد.



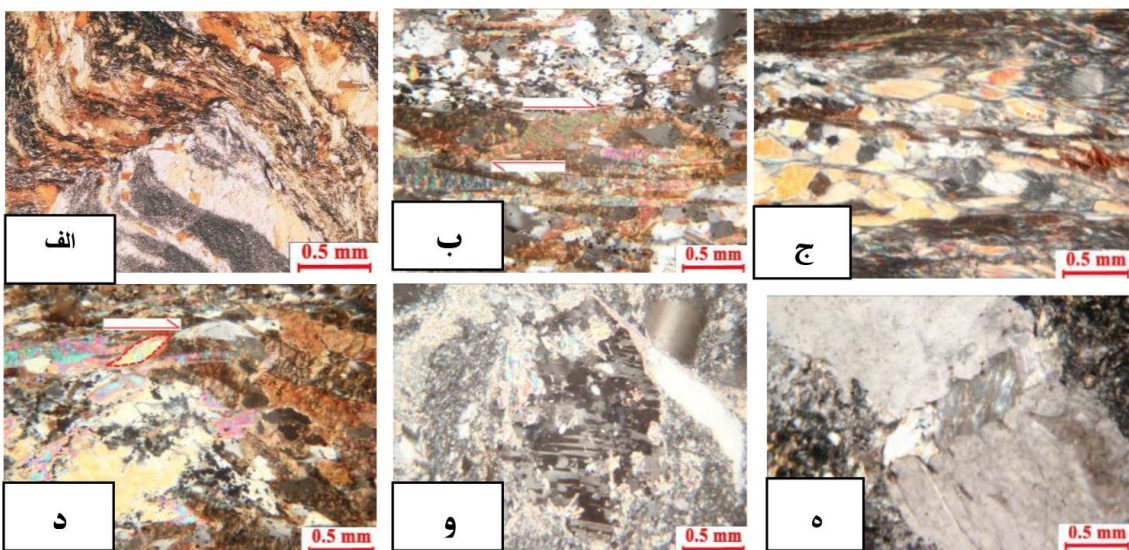
پریروبلاست‌های کوردیریت به وسیله تجمعات سیمپلکتیت دانه‌ریز مسکویت، بیوتیت و کوارتز جایگزین شده‌اند. به نظر می‌رسد که این تجمعات دانه‌ریز به وسیله واکنش بالا تشکیل شده‌اند. در شیسته‌های درجات حرارت بالاتر رشد پتانسیم فلدسپار و حضور آن در این شیسته‌ها به وسیله واکنش‌های زیر توضیح داده می‌شود.



با توجه به روابط بافتی و مسیرهای دما-فشار طی شده امکان انجام واکنش 5 ممکن به نظر نمی‌رسد. سیلیمانیت‌های فیبری در سنگ‌های درجه بالا به وجود می‌آیند. بیشتر این فیبرولیت‌ها بعد از دگرشکلی هستند زیرا یا در طول مرزهای دانه‌ای متمرکز شده یا جانشین کانی‌های درجه بالا شده‌اند (به صورت اتفاقی و یا تجمعاتی که در کانی‌های جانشین شده از طریق شبکه بلورین کنترل شده‌اند) بعضی از آن‌ها در حاشیه سیمپلکتیک‌های حاوی آندالوزیت قرار دارند و یا به صورت اتفاقی مرزهای دانه‌ای را قطع می‌کنند. این سیلیمانیت‌های فیبری ممکن است نتیجه متأسوماتیسم محلی تشکیل شده باشند (Vernon, 1979). بنابراین بسیاری از سیلیمانیت‌های فیبری می‌توانند در دگرگونی M_1 که سیالات بیشتری در دگرگونی شرکت داشته، بعد و یا در طی دگرشکلی D_1 به وجود آمده باشند. البته در حاشیه بلورهای گارنت نیز در برخی نمونه‌ها فیبرولیت‌ها مشاهده می‌شوند که به نظر می‌رسد در اثر واکنش گارنت با مسکویت تشکیل شده

موجود در هسته کوردیریت‌هایی که تبدیل به تجمع‌های میکائی شده‌اند، خلاف جهت شیستوزیته ماتریکس است که مشخص می‌کند قبل از D_1 تشکیل شده‌اند (شکل ۴ الف).

پرفیروblast‌های کوردیریت و شیستوزیته زمینه نشان داده می‌شود. رشد کوردیریت در شیستهای درجه پایین قبل از D_1 و همراه با تشکیل شیستهای بسیار دانه‌ریز بوده است. ادخال‌های



شکل ۴: (الف) بلور آندالوزیت اینترتکتونیک. (ب) میکا ماهی‌ها و مولفه راستگرد برش. (ج) میکا ماهی در آندالوزیت شیست (ج). (د) سیلیمانیت ماهی‌گون همراه با مقادیر زیادی کوارتز و گرافیت. (و) بلور کوارتز خمیده کوارتز و ماکل دگریخت شده با پایانه‌های باریک شونده. (ه) برخورد بلورهای آندالوزیت و ایجاد لبه‌های دندانه‌دار.

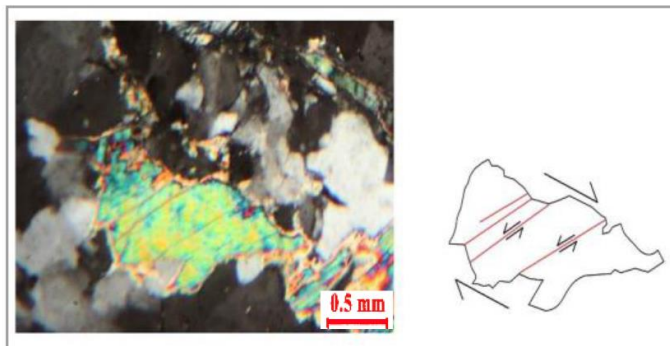
تشکیل بلور گارنت با D_1 همزمان بوده است. وجود آرک‌ها در آندالوزیت به عنوان رشد در جای یا بعد از تکتونیک پرفیروblast تعییر می‌شود (Trouw, 1973; Harvey and Ferguson, 1973) . نوع دیگری از پرفیروblast‌های آندالوزیت در بعضی نمونه‌ها مشاهده می‌شود که آن‌ها را می‌توان از نوع اینترتکتونیک دانست. رشد این بلورها بعد از دگرشكلي اول صورت گرفته است. در اطراف این پرفیروblast‌های آندالوزیت زمینه چین خورده و خمیده شده است در حالی که میزان چین خورده‌گی و خمیدگی ادخال‌های موجود در پرفیروblast کمتر از زمینه می‌باشد و زاویه‌ای حدود ۴۵ درجه و کمتر با شیستوزیته زمینه می‌سازند (۴ الف).

به علت حضور درونگیرهای بیوتیت در کوردیریت‌ها به نظر می‌رسد اکثر بیوتیت‌ها قبل از D_1 و قبل از رشد کوردیریت به وجود آمده‌اند. پرفیروblast‌های آندالوزیت نیز با توجه به روند ادخال‌ها و دگرشكلي‌های اعمال شده قبل و یا همزمان با D_1 رشد کرده‌اند. ادخال‌ها در پرفیروblast‌های آندالوزیت به طور مشخص بزرگ‌تر از ادخال‌ها در هسته کوردیریت است که نشان می‌دهد آندالوزیت زمانی که اندازه دانه‌های ماتریکس به طور قابل ملاحظه‌ای بزرگ‌تر از اندازه‌ی آن‌ها در زمان رشد کوردیریت بوده، رشد کرده است. در برخی نمونه‌ها برگوارگی زمینه برخی بلورهای گارنت را دور زده که نشان می‌دهد

حضور این رگه‌های کوارتزی می‌تواند پیامد دگرشکلی D_2 و تزریق سیالات منشا گرفته از توده‌های نفوذی باشد. این رگه‌ها یا رگچه‌ها به رنگ روشن دیده می‌شوند و از چند سانتیمتر تا چند متر ضخامت دارند. در برخی نمونه‌ها پرفیروblastهای گارنت تحت تاثیر D_2 شکسته شده‌اند و پرفیروblastهای آندالوزیت بودین شده‌اند. انحلال فشاری بین بلورهای آندالوزیت در اثر برخورد پرفیروblastهای مجاور باعث تورفتگی و دندانه‌دار شدن آن‌ها طی D_2 شده است (شکل ۴). برخی بلورهای کوردیریت در اثر دگرشکلی در جهت شیستوزیت زمینه کشیده شده‌اند. بیوتیت‌های ابری بی‌شکل در برخی نمونه‌ها مشاهده می‌شوند که نشان دهنده تاثیر دگرشکلی می‌باشند. بیوتیت‌های شکل‌دار در مجاورت بیوتیت‌های ابری نشان دهنده رشد بعدی این افزایش حرارت و کاهش تنفس رخ می‌دهد و زیردانه شدن در برخی بلورهای کوارتز قابل مشاهده است. کوارتز شواهد فراوانی برای دگرشکلی نشان می‌دهد از جمله خاموشی‌های شطرنجی تبلور مجدد دینامیکی و دانه‌های پلی‌گونال که به دلیل اینکه حرارت خیلی افزایش نداشته، مرز سه‌گانه تشکیل نداده‌اند. در پلاژیوکلازها نیز ماکلهای تغییر شکل یافته مشاهده می‌شود (شکل ۳ ج). ماکل میکروکلین در پتاسیم فلدسپارها در بعضی نمونه‌ها در شیستهای درجات بالا در اثر دگرشکلی D_2 توسعه پیدا کرده است. تشکیل بلورهای ماهی‌گون میکا (شکل ۴ ب) و سیلیمانیت (شکل ۴ ج) تحت تاثیر D_2 می‌باشد.

شاید بتوان گفت که بعد از اتمام رشد پرفیروblast فعلیت تکتونیکی متوقف شده و دوباره از سرگرفته شده است و این موجب تفاوت جهت‌یابی ادخال‌های موجود در آندالوزیت و شیستوزیت زمینه، چرخش پرفیروblast و خمیدگی شیستوزیت در اطراف آن شده است (Philpotts, 1990). به عبارتی بلورهای اینترتکتونیک آندالوزیت نشان دهنده رشد این بلورها در فاصله بین دو فاز تکتونیکی هستند که این فاصله می‌توانسته بسیار زیاد باشد.

رویداد دوم دگرشکلی (D_2): در طی این رویداد تجمعات تشکیل شده بر روی کوردیریت‌ها دگرشکل شده‌اند. تمرکزهای گرافیت بین و در مجاورت پرفیروblastها احتمالاً باقیمانده‌های غیرمتحرک بعد از انحلال کانی‌های دیگر در زون استرین بالا می‌باشد. گارنت‌های نسل دوم بعد از D_1 بر روی شیستوزیت S_1 قرار گرفته و مرز واضح و مشخص با زمینه دارند. شواهد تنفس دوم را در شیستهای غنی از مسکویت به خوبی می‌توان مشاهده کرد. این تنفس در مناطق با استرین بالا مسکویت‌ها را تحت تاثیر قرار داده و چین خوردگی ایجاد کرده است در این قسمت‌ها مسکویت‌ها چین خوردگی و شیستوزیت S_2 ایجاد شده است (شکل ۳ الف). شرایط دگرگونی در طی مراحل میلونیتی شدن تغییر کرده است که با شواهدی از جمله بازجذب آندالوزیت و افزایش محتوای کوارتز به دلیل تزریق سیالات حاوی Si و در نتیجه سیلیسی شدن پرفیروblastهای پلاژیوکلاز تایید می‌شود. از مشخصات میکاشیستهای منطقه وجود رگه‌های کوارتزی است که عمدتاً جهت شیستوزیت را قطع نموده‌اند. ضخامت رگه‌های کوارتزی در قسمت‌های مختلف متفاوت است.



شکل ۵: ریزگسل‌ها و تکه تکه شدن بلور مسکویت در نمونه‌های مورد مطالعه.

توسط آنالیز مایکروپریوب مشخص شده است (رنجر، ۱۳۸۹). گارنت‌ها در همه نمونه‌های مورد آنالیز از لحاظ ترکیبی محلول جامد آلماندین-اسپسارتین بوده، از نظر شیمیایی تقریباً حالت همگن را نشان می‌دهند. ترکیب شیمیایی بیوتیت همه نمونه‌های مورد آنالیز در نمودار چهار تایی سیدروفیلیت-استونیت-آننت-فلوگوپیت در مجاور خط واصل آننت-فلوگوپیت و نزدیک به ترکیب آننت می‌باشد، به نظر می‌رسد مقدار تیتان در بیوتیت با افزایش دما افزایش یافته است. پلازیوکلازها در نمونه‌های با درجه دگرگونی پایین در حد آلبیت و در نمونه‌های با درجه بالاتر دگرگونی در حد الیگوکلاز است. میکاهای سفید در متاپلیت‌های منطقه از نوع مسکویت می‌باشند. رنجبر (۱۳۸۹) دما و فشار تشکیل آندالوزیت میکاشیست‌های منطقه را با توجه به نتایج آنالیز شیمیایی کانی‌های بیوتیت، گارنت و پلازیوکلاز با استفاده از نرم‌افزار ترمومکالک تعیین سن نموده که نتایج این دما‌فشار‌سنجی نشان می‌دهد حداقل دما در حدود 707°C درجه سانتی‌گراد و $2/6$ کیلوبار فشار و مقدار متوسط دما و فشار حدود 664°C درجه سانتی‌گراد با عدم قطعیت 28°C و $2/5$ کیلوبار با عدم قطعیت $0/6^{\circ}\text{C}$ می‌باشد. برای تخمین و تایید دمای دگرگونی به دست آمده توسط نرم‌افزار ترمومکالک، از نمودارهای فشار-حرارت رسم شده

در سنگ‌های گابرویی نیز آثار این دگرشکلی مشاهده می‌شود از جمله شکستگی در بلورهای پیروکسن، وجود بلورهای پلازیوکلاز دگرشکل شده، قطعات کوارتز شکسته شده، وجود تجدید بلور دینامیکی در بلورهای کوارتز و وجود بافت میرمیکیت شواهد دیگر قابل مشاهده هستند. گرانیت‌های منطقه مورد مطالعه نیز در مقیاس نمونه دستی حالت نواری از خود نشان می‌دهند. در سنگ‌های ریولیتی نیز بسیاری از بلورهای کوارتز شکسته و زاویه‌دار بوده و دارای خاموشی موجی می‌باشند. آثار تجدید بلور دینامیکی در این بلورها نیز دیده می‌شود. پلازیوکلاز به صورت بلورهای نسبتاً درشت شکل‌دار تا نیمه‌شکل‌دار و اغلب با ماکل آلبیتی که به شدت دچار دگرشکلی شده‌اند دیده می‌شود (شکل ۳ ج). آثار شکستگی و خمیدگی در بعضی بلورهای پلازیوکلاز قابل مشاهده است. میکاهای دانه‌ریز دگرشکلی یافته و به صورت بخشی ازماتریکس دانه‌ریز اطراف فنوکریست‌های کوارتز دیده می‌شوند. در نتیجه سنگ چشم‌کوارتری ایجاد می‌شود که نشانه خوبی برای تشخیص آتشفسانی بودن سنگی است که تحت تاثیر دگرگونی و دگرشکلی قرار گرفته است.

تعیین مسیر فشار-حرارت
ترکیب شیمیایی کانی‌های بیوتیت، گارنت و پلازیوکلاز در سه نمونه از متاپلیت‌های منطقه

آنالوژیت + کوارتز که قبلاً جانشین پرفیروblast کوردیریت شده بودند رشد کرده‌اند. همچنین کلریت و مسکویت را در داخل آندالوژیت‌های شکسته شده طی دگرشکلی می‌توان یافت. تجمعات جانشین کوردیریت که حاوی بیوتیت و بدون کلریت و نسبتاً درشت دانه هستند احتمالاً منشاً پیشرونده دارند. شواهد ریزاساختاری نیز نشان می‌دهند که بسیاری از این تجمعات در طی واکنش‌های پیشرونده به وجود آمده‌اند. قرار گرفتن به موازات برگوارگی زمینه و غیر آلت‌ره بودن تجمعات سیمپلکتیت اطراف بلورهای آندالوژیت نشان‌دهنده منشاً پیشرونده برای این تجمعات می‌باشد. در برخی کمپلکس‌های دگرگونی دیگر اجتماعات بافتی مشابهی از آندالوژیت و کوردیریت گزارش شده است مانند کمپلکس کوما (Vernon, 1999b, 1999a) و هاله باغابو (Pattison, et al, 2002). اما برخی از این تجمعات سیمپلکتیت حاوی بیوتیت، مسکویت، کوارتز جانشین کوردیریت و آندالوژیت، سردشده‌گی پسرونده را بدون کاهش در فشار نشان می‌دهند (Vernon, 1987, 1978)، در این تجمعات کلریت دیده می‌شود که نمی‌تواند به عنوان یک کانی اولیه در ماتریکس باشد و بدیهی است که عضو سازگار مجموعه پیشرونده حاوی کوردیریت نیست. جایگزینی آلومینوسیلیکات‌ها به‌وسیله مسکویت و جایگزینی کوردیریت به‌وسیله پنیت نیازمند آب است که احتمالاً از خارج از سیستم منشاً گرفته است. در این ارتباط چرخش محلول‌های هیدروترمالی در طی دگرگونی پسرونده پیشنهاد می‌شود. بنابراین به نظر می‌رسد پس از دگرگونی شکل‌دهنده کوردیریت، یک مرحله دگرگونی پسرونده عمومی اتفاق افتاده باشد. مسیر پسرونده با سردشده‌گی در

براساس ترتیب رشد بلورها و ویژگی‌های ریز ساختاری (Vernon, 2008) استفاده شد. چنان‌که در نمودار شکل ۶ مشاهده می‌شود، واکنش شماره ۴ منحنی And=Sil را در حدود ۶۵۰ درجه سانتی‌گراد و فشار کمتر از ۳ کیلوبار قطع می‌کند که درجه حرارت و فشار به‌دست آمده با استفاده از ترمومکالک را تایید می‌کند. با استفاده از این نمودار می‌توان مسیرهای فشار-حرارت پیشرونده و پسرونده را به خوبی بررسی کرد.

مسیر پیشرونده فشار-حرارت

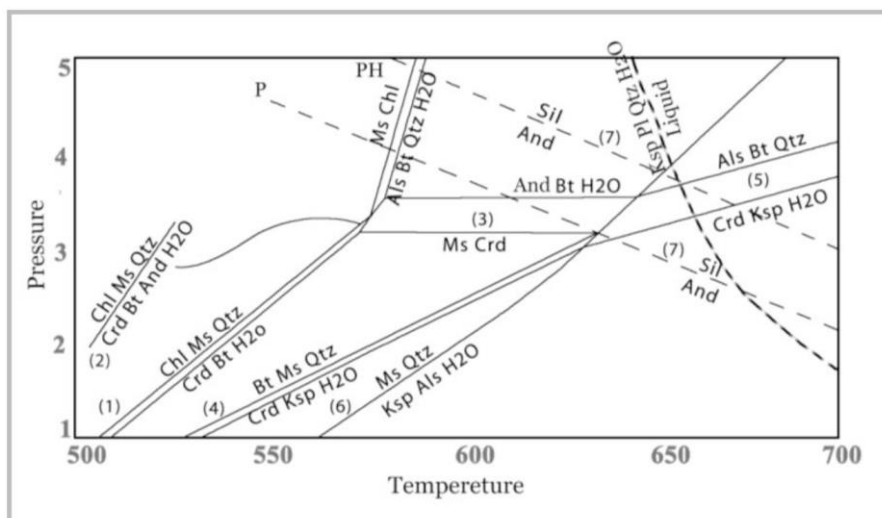
طبق شکل ۶ مسیر دما- فشار را برای متابلیت‌های منطقه می‌توان براساس روابط بافتی و واکنش‌های صورت گرفته توضیح داد. مسیر دما- فشار برای تشکیل کوردیریت شیب مثبت داشته و ادامه شیب مسیر پیشرونده بستگی به شیب واکنش (۳) دارد. مسیر پیشرونده می‌تواند مسیر واکنش (۳) با (۵) و یا هر دو را قطع کند از آنجا که با توجه به روابط بافتی در نمونه‌های مورد مطالعه می‌توان این مسیر را با شیب بسیار کم منفی یا صفر در نظر گرفت، این واکنش تشکیل تجمعات میکایی فاقد کلریت را می‌تواند توضیح دهد. منحنی واکنش آندالوژیت-سیلیمانیت در بین منحنی‌های پیشنهادی (Powell and Holland, 1990; Pattison, 1992) تشکیل پاراژن آندالوژیت + کوردیریت + گارنت در اثر افزایش حرارت و سپس در زون‌های حرارت بالاتر تشکیل سیلیمانیت و پتاسیم فلدسپار و همراهی کوردیریت با گارنت و پتاسیم فلدسپار نشان از دگرگونی پیشرونده دارند.

مسیر پسرونده فشار-حرارت

مسیر پسرونده در دگرگونی‌های منطقه مسیر در جهت عقربه‌های ساعت نیست. کلریت و مسکویت داخل و اطراف مجموعه جانشینی بیوتیت +

مشاهده می‌شوند بسته به اینکه سیمپلکتیت به عنوان پسروند پیشرونده یا پیشرونده تفسیر شود، می‌تواند به عنوان پسروند پیشرونده یا پیشرونده در نظر گرفته شود.

فشار ثابت مشخص می‌شود. دلیل دیگر برای انجام واکنش‌های پسروند در فشار ثابت، عدم انجام واکنش (۵) و عدم تشکیل کوردیریت از آندالوزیت می‌باشد. سیلیمانیت‌های فیبری که داخل تجمعات سیمپلکتیت آندالوزیت، بیوکیت و کوارتز



شکل ۶: مدل سیستم پلیتی KFMASH شامل کوردیریت (Crd)، آلومینوسیلیکات‌ها (And, Sil)، پتاسیم فلدسپار (Ksp)، بیوکیت (Bt)، مسکویت (Ms)، کلریت (Chl)، پلازیوکلاز (Qtz)، مکان یابی توسط Powell and Holland (1992) Pattison, 1992 (1989) Spear and Cheney, (1990) Holland، نقطه سه گانه تعیین شده براساس واکنش And=Sil با علامت P توسط پتیسون، (1992) Pattison و با علامت PH توسط پاول و هلند Powell and Holland, (1990).

ناحیه‌ای است و رویداد M_2 با بالا آمدگی و جایگیری نپ در ارتباط می‌باشد. این رویداد با متامورفیسم پسروند دنبال می‌شود. از جمله شواهد این دگرگونی قهقهایی تبدیل آندالوزیت به سریسیت و مسکویت یا کلریت و مسکویت، رشد کلریت‌ها و تالک‌ها در محل شکستگی‌های بلورهای آندالوزیت، تشکیل تورمالین در رگه‌های موجود در سنگ و در حاشیه آندالوزیت‌ها است که این رویداد به ساخت تکتونیکی منطقه، ویژگی‌های فیزیکی سنگ‌های دگرگونی، انتشار و نشت حجم عظیمی از سیالات غنی از بر و پتاسیم حاصل از انجماد توده در حین سرد شدن مربوط

مسکویت‌های ثانویه و همرشدی‌های میرمیکیت بعد از دگرگونی هستند و هر دو در طی واکنش‌های پسروند شکل می‌گیرند. اگر چه برای میرمیکیت به اندازه مسکویت این موضوع روشن نیست. بنابراین سیلیمانیت فیبری در طی سرد شدن در طی گروهی از واکنش‌های مستقل احتمالاً نیمه پایدار که با متاسوماتیسم هیدروژن در ارتباط می‌باشد رشد کرده است (Johnson et al., 1994).

تحولات دگرگونی و دگرشکلی منطقه رویداد تولیدکننده کوردیریت‌ها، آندالوزیت‌ها، سیلیمانیت و آلکالی فلدسپار M_1 یک رویداد

که دارای مقیاس ناحیه‌ای هستند، مسیرهای فشار- دمای در جهت خلاف حرکت عربه‌های ساعت نشان می‌دهند. نتایج دما فشار سنجی در منطقه فریمان نیز فرایند گرمایی پیشرونده با افزایش آهسته فشار را برای دگرگونی‌های این منطقه نشان می‌دهد که می‌تواند ناشی از نفوذ مقادیر نسبتاً زیادی مانع از دامنه پوسته زیرین- میانی باشد. این نفوذ باعث می‌شود که فشار و دما در اعمق افزایش یابند اما مقدار افزایش فشار همانگ با افزایش گرما نبوده است. با توجه به وجود سیمپلکتیت‌های ایجاد شده مرحله اوج دگرگونی با سرد شدن هم فشار (ایزوباریک) دنبال می‌شود (Vernon, 1982; Ellis, 1987; England and Tampson, 1984) جایگیری نپ و بالا آمدن پوسته پایینی و باز چین خوردگی، فشردگی ایزوترمها را موجب شده که احتمالاً از میان توده‌های ضخیم شده بالا آمده‌اند و حوضه‌های از قبل دگرگون شده را تحت تاثیر دگرگونی دیناموترمال M_2 قرار داده‌اند. بالا آمدگی پوسته پایینی دوره‌ای از آرامش گرمایی پوسته را به دنبال دارد و در ادامه آبگیری و تبلور مجدد مجموعه‌های M_2 طی سرد شدن اتفاق می‌افتد. این منطقه را می‌توان به عنوان یک پنجه فرسایشی شامل سنگ‌های پروتروزوئیک در نظر گرفت که به صورت یک ساختمان بالا آمده از پی‌سنگ ایران مرکزی در مقابل رسوبات پالئوزوئیک و سنوزوئیک اطراف ظاهر شده است. احتمالاً دو عامل به بالا آمدگی این واحدهای دگرگونی به طرف سطح کمک کرده است اول جانشین‌شدن آن‌ها در طول کنتاكت‌های معکوس غیرعادی و دوم فرسایش سطح بالا آمده که منجر به باز تعادل ایزوسانتاتیک می‌شود (Kornprobst, 2002).

می‌باشد. پس از دگرگونی M_1 با جایگیری نپ و ایجاد پهنه‌ی برشی، منطقه مورد مطالعه تحت تاثیر دگرگونی دیناموترمال قرار گرفته است. موقع رویداد دگرگونی دیناموترمال موجب وقوع مرحله دوم دگرگونی و ایجاد پهنه برشی به ویژه در بخش جنوبی و جنوب‌غربی منطقه شده و میلدونیت‌ها و فیلونیت‌ها را شکل داده است. حرکات تکتونیکی برشی کل مجموعه دگرگونی را دچار دگرگونی‌های دینامیکی نسبتاً شدید کرده است اما شدت تاثیر حرکات تکتونیکی برشی در طول پهنه برشی در سنگ‌ها در همه جا یکسان نیست. این مرحله همراه با ساختارهای شکل‌پذیر بوده است. کانی‌سازی پیشرونده در این مرحله مشاهده نشده است و با متامورفیسم پسروند دنبال شده است. بررسی‌های ریزساختاری فراوان، دگرشكلي دما پایین در طی برش اورپرینت شده در طی رویداد D_2 را ثابت می‌کند. این ریزساختارها همان‌طور که توضیح داده شد در شیسته‌ها، متاولکان‌ها و گرانیت‌های میلدونیتی شده منطقه قابل مشاهده است. با توجه به شواهد ریزساختاری پهنه‌های برشی در منطقه همگی مولفه راستبر دارند و دگرشكلي ایجاد شده در سنگ‌های دگرگونی و سنگ‌های آذرین منطقه از نوع شکل‌پذیر- شکنا می‌باشد.

نتیجه‌گیری

اولین رویداد دگرگونی در منطقه فریمان از نوع دما بالا- فشار پایین و در رخساره آمفیبولیت بالایی می‌باشد. این رویداد ناحیه‌ای (M_1) نمونه‌ای از مسیر خلاف جهت عربه‌های ساعت است که می‌تواند در دگرگونی‌های درجه بالا ایجاد شود. بولن (Bohlen, 1991) بیان داشته است که بسیاری از کمپلکس‌های با درجات بالای دگرگونی

منابع

- ویژه بر پتانسیل اقتصادی آندالوزیت شیست‌ها، پایان‌نامه کارشناسی ارشد دانشگاه فردوسی مشهد، ۱۹۷۹
- نقشه زمین‌شناسی ۱/۱۰۰۰۰۰ کاریزنون، انتشارات سازمان زمین‌شناسی و اکتشافات معدنی کشور.
- واعظی پور، م.، خلقی، م.ح. و علوی نائینی، م.، ۱۳۶۲ زمین‌شناسی ناحیه فریمان-زرف و مروری بر سنگ‌های دگرگون شده قسمت‌هایی از شمال خاوری ایران، گزارش سازمان زمین‌شناسی و اکتشافات معدنی کشور، ۴۵ ص.
- Alavi, M., 1991. Sedimentary and structural characteristics of the paleo-Tethys remnants in northeastern Iran: Geological Society of America Bulletin, v. 93, p.1157-1196.
- Berberian, M., 1981. Towards a paleogeography and tectonic evolution of Iran: Canadian Journal of Earth Sciences, v. 18, p. 210-265.
- Bohlen, S.R., 1991. On the formation of granulite: Journal of Metamorphic Geology, v. 9, p. 223-220.
- Ellis, D.J., 1987. Orogen and evolution of granulites in normal and thickened crusts: Journal of Geology, v. 12, p. 167-170.
- England, P.C. and Tampson, A.B., 1984. Pressure- Temperature- Time path of regional metamorphism I. Heat transfer during the evolution of regional of thickened continental crust: Journal of Petrology, v. 25, p. 894-928.
- Kornprobst, J., 2002. Metamorphic rocks and their geodynamic significance, A petrological handbook: Kluwer academic publisher, 205 p.
- Kretz, R., 1983. Symbols for rock-forming minerals: American Mineralogist, v. 68, p. 277-279
- آقاباتی، ع.، ۱۳۸۵. زمین‌شناسی ایران، انتشارات سازمان زمین‌شناسی و اکتشافات معدنی کشور، ۷۰۷ ص.
- شیرزاده، ب.، ۱۳۸۱. اکتشاف مقدماتی آندالوزیت در جنوب‌شرق فریمان، پایان‌نامه کارشناسی ارشد دانشگاه فردوسی مشهد.
- صفرایی، س.، ۱۳۸۶. پترولوزی و ژئوشیمی سنگ‌های دگرگونی جنوب‌شرق فریمان، پایان‌نامه دانشگاه صنعتی شهرورد.
- رنجر، ف.، ۱۳۸۹. پترولوزی و پتروژئنزن سنگ‌های دگرگونی شرق و جنوب‌شرق قنداب با نگرشی
- Harvey, P.K. and Ferguson, C., 1973. Spherically arrened inclusions in post-tectonic garnet porphyroblasts: Mineralogy Magazine, v. 39, p. 85-88.
- Johnson, S.E., Hobbs, B.E. and Vernon, R.H., 1994. Deformation and metamorphism of Cooma complex, southeastern Australia, Specialist group in tectonics and structural geology: Emie des sciences, Paris, v. 15, p. 917-929.
- Mancktelow, N.S., Arbaret, L. and Pennacchioni, G., 2002. Experimental observation on the effect of interface slip on rotation and stabilization of rigid particles in simple shear and a comparison with natural mylonites: Journal Structure Geology, v. 24, p. 567-585.
- Passchier, C.W. and Throw, R.A.J., 2005. Microtectonic: Springer publisher, 742 p.
- Pattison, D.R.N., 1992. Stability of andalusite and sillimanite and the Al₂SiO₅ triple point; constraints from Bullachulish aureole, Scotland: Journal of Geology, v. 100, p. 423-446.
- Pattison, D.R.M., Spear, F.S., Debuher, C.L. and Cheney, J.T., 2002.

- Thermodynamic modeling of the reaction
- Muscovite+Cordierite=Al₂SiO₅+Biotite +Quartz+H₂O. Constraints from natural assemblages and implication for the metapelitic petrogenetic grid: Journal of Metamorphic Geology, v. 20, p. 99-118.
- Philpotts, A.R., 1990. Principles of igneous and metamorphic petrology: Prentice Hall, 498 p.
- Powell, R. and Holland, T., 1990. Calculated mineral equilibrium in the pelitic system, KFMASH (K₂O-FeO-MgO-Al₂O₃- SiO₂-H₂O): American Mineralogists, v. 75, p. 367-380.
- Schulz, B., 1990. Prograde-retrograde P-T-t deformation path of Austroalpine micaschists during Variscan collision (eastern Alps): Journal of Metamorphism, v. 8, p. 629-643.
- Simpson, C. and Wintsch, R.P., 1989. Evidence for deformation induced K-Feldspar replacement by myrmekite: Journal of Metamorphic Geology, v. 7, p. 261-275.
- Spear, F.S. and Cheney, J.T., 1989. A petrogenetic grid for pelitic schists in the system SiO₂- Al₂O₃ - FeO - MgO - K₂O – H₂O: Contribution to Mineralogy and Petrology, v. 101, p. 149-164.
- Stocklin, J., 1968. Structural history and tectonics of Iran; a review: American Association of Petroleum Geologists Bulletin, v. 52, p. 1229-1258.
- Stocklin, J., 1974. Northern Iran: Alborz Mountain, Mesozoic- Cenozoic orogenic belt data for orogenic studies: Geological Society of London, Sp. Publication, p. 213-234.
- Trouw, R.J., 1973. Structural geology of the Marshall area, Caledonides of Väst er bott en, Sweden: Ever Geology Unders Ser C, v. 686, p. 1-115.
- Vernon, R.H., 1978. Pseudomorphous replacement of cordierite by symplectic intergrowths of andalusite: biotite and quartz: Lithos. v. 11, p. 283-289.
- Vernon, R.H., 1979. Formation of late sillimanite by hydrogen metasomatism (base-leaching) in some high-grade gneisses: Lithos, v. 12, p. 143-152.
- Vernon, R.H., 1982. Isobaric cooling of two regional metamorphic complexes related to igneous intrusions in southeastern Australia: Journal of Geology, v. 10, p. 76-82.
- Vernon, R.H., 1987. Growth and concentration of fibrous sillimanite related to heterogeneous deformation in Kfeld – sillimanite metapelites: Journal of Metamorphic Geology, v. 5, p. 51-68.
- Vernon, R.H., 1988. Microstructural evidence of rotation and non-rotation of mica porphyroblast: Journal of Metamorphic Geology, v. 6, p. 595-601.
- Vernon, R.H., 1999a. Sequential growth of cordierite and andalusite porphyroblasts, Cooma complex, Australia: microstructural evidence of a prograde reaction: American Mineralogist, v. 84, p. 171-172.
- Vernon, R.H., 1999b. Flame perthite in metapelitic gneisses at Cooma, SE Australia: American Mineralogist, v. 84, p. 1760-1765.
- Vernon, R.H., 2008. Practical guide to rock microstructure: Cambridge university press, 610 p.
- Winkler, H.G.F., 1976. Petrogenesis of metamorphic rocks: Springer publisher, 334 p.